

## Сравнение дискретных динамических моделей импульсных преобразователей

БЕЛОВ Г.А.

В статье дается вывод нелинейного разностного уравнения в векторно-матричной форме, показаны его линеаризация и вывод  $z$ -передаточной функции для преобразователя постоянного напряжения (ППН) с двумя рабочими интервалами времени  $t_1$  и  $t_2$  на периоде переключений  $T$ , процессы на которых описываются различными линейными векторно-матричными дифференциальными уравнениями произвольного порядка. При наличии явных точных выражений для всех элементов фундаментальных (переходных) матриц этих систем возможно получение из линеаризованных разностных уравнений точных  $z$ -передаточных функций, пригодных для практических расчетов. В качестве примера рассматривается вывод из линеаризованного разностного уравнения  $z$ -передаточных функций силовой части понижжающего ППН с LC-фильтром на выходе, работающего в режиме непрерывного тока, с одноконтурной системой управления. Полученное линеаризованное разностное уравнение ППН, методика вывода уравнения и  $z$ -передаточных функций на его основе сравниваются с известными из литературы.

**Ключевые слова:** импульсный преобразователь постоянного напряжения, разностные уравнения, линеаризация,  $z$ -передаточные функции, структурные динамические модели

Исследованию импульсных преобразователей постоянного напряжения (ППН) уделяется серьёзное внимание начиная с 60-х годов прошлого столетия. Интерес к этой теме не затухает в связи с тем, что применение импульсных ППН в электротехнической и радиоэлектронной аппаратуре промышленного, военного и бытового назначения непрерывно возрастает. На практике наиболее широко применяются простые схемы силовой части импульсных ППН, а с помощью систем управления, выполняемых на современных микросхемах, реализуются самые разнообразные функции: стабилизация выходного напряжения, коррекция коэффициента мощности при питании ППН от сети переменного тока через неуправляемый выпрямитель, токоограничение, плавный пуск, защита от чрезмерного снижения и повышения напряжения питания микросхемы, снижение уровня генерируемых электромагнитных помех [1].

Последние 10–15 лет импульсные ППН широко внедряются в преобразователи для солнечных электростанций, в которых выполняют функции повышения напряжения и слежения за точкой максимальной мощности солнечного модуля (такое значение имеют серийные фотоэлектрические преобразователи с напряжением холостого хода 43,2 В, максимальной мощностью 260 Вт, выпускаемые, например, Новочебоксарской фирмой «Хевел»).

Развитие методов моделирования и исследования динамики импульсных ППН является одной из важнейших проблем силовой электроники. Возрастает роль дискретных динамических моделей

импульсных ППН, что, в первую очередь, связано с расширением внедрения цифровых систем управления импульсными ППН. В этих случаях для получения дискретной динамической модели ППН с цифровым управлением требуется знать дискретную динамическую модель силовой части ППН. Во многих работах используются приближенные методы получения  $z$ -передаточных функций из  $s$ -передаточных функций, которые широко применяются при синтезе цифровых фильтров [2].

Точные дискретные динамические математические модели импульсных преобразователей постоянного напряжения (ППН), к которым относятся структурные дискретные динамические модели [3–6] и разностные уравнения [7–10], позволяют получать наиболее достоверные результаты при анализе и синтезе ППН.

В настоящее время удобными и эффективными методами анализа и синтеза импульсных ППН с замкнутыми системами управления являются методы, основанные на использовании передаточных функций. В статье дается вывод нелинейного разностного уравнения в векторно-матричной форме, показаны его линеаризация и вывод  $z$ -передаточной функции для ППН с двумя рабочими интервалами времени  $t_1$  и  $t_2$  на периоде переключений  $T$ , процессы на которых описываются различными линейными дифференциальными уравнениями произвольного порядка. Это разностное уравнение и передаточные функции представляются в общем виде, включающем значения фундаментальных (переходных) матриц системы, которые при из-

вестных выражениях для всех элементов позволяют получать точные  $z$ -передаточные функции, пригодные для практических расчетов.

Далее в качестве примера рассматривается вывод из линеаризованного разностного уравнения  $z$ -передаточной функции для силовой части понижающего ППН с  $LC$ -фильтром на выходе, работающего в режиме непрерывного тока (РНТ), с одноконтурной системой управления, которая сравнивается с передаточными функциями, получаемыми из структурной дискретной динамической модели. Подобные  $z$ -передаточные функции бывают необходимы при цифровом управлении ППН, когда такая функция разомкнутой системы определяется перемножением  $z$ -передаточных функций силовой части и цифрового контроллера. Пример хорошо иллюстрирует сложность вывода  $z$ -передаточной функции из линеаризованного разностного уравнения и показывает преимущества структурной динамической модели.

Предположим, что процессы в дискретной системе описываются дифференциальными уравнениями произвольного порядка:

$$\begin{aligned} \frac{dx}{dt} &= A_1 x + B_1 v; \quad nT \leq t \leq nT + t_1; \\ \frac{dx}{dt} &= A_2 x + B_2 v; \quad nT + t_1 \leq t \leq nT + T, \end{aligned} \quad (1)$$

где  $n$  – целое число;  $x$  – вектор состояния системы размера  $k$ ;  $v$  – вектор внешних воздействий размером  $r$ ;  $A_1, A_2$  – квадратные вещественные матрицы порядка  $k$ ;  $B_1$  и  $B_2$  – вещественные матрицы размером  $k \times r$ ;  $T = t_1 + t_2$ . Внешние воздействия на систему полагаем постоянными в течение периода переключений  $T$ , но изменяющимися от периода к периоду.

Полагая вектор  $v$  постоянным в течение периода  $T$ , решения (1) можно представить в виде:

$$\begin{aligned} x(t) &= e^{A_1(t-nT)} [x(nT) - x^{t_1}(\infty)] + x^{t_1}(\infty); \\ nT \leq t &\leq nT + t_1; \\ x(t) &= e^{A_2(t-nT-t_1)} [x(nT + t_1) - x^{t_2}(\infty)] + x^{t_2}(\infty); \\ nT + t_1 \leq t &\leq nT + T, \end{aligned} \quad (2)$$

где  $e^{A_1 t}$ ,  $e^{A_2 t}$  – фундаментальные (переходные) матрицы для уравнений (1);  $x^{t_1}(\infty)$ ,  $x^{t_2}(\infty)$  – асимптотические значения вектора  $x(t)$  на интервалах  $t_1$  и  $t_2$ , получаемые из (1) при  $dx/dt=0$ , т.е.

$$\begin{aligned} x^{t_1}(\infty) &= -A_1^{-1} B_1 v; \\ x^{t_2}(\infty) &= -A_2^{-1} B_2 v. \end{aligned} \quad (3)$$

Подставив в первое выражение (2)  $t=nT+t_1$ , получим равенство

$$x(nT + t_1) = e^{A_1 t_1} [x(nT) - x^{t_1}(\infty)] + x^{t_1}(\infty), \quad (4)$$

с учетом которого из второго выражения (2) найдем нелинейное разностное уравнение системы:

$$\begin{aligned} x(nT + T) &= e^{A_2(T-t_1)} [x(nT) - x^{t_1}(\infty)] + \\ &+ e^{A_2(T-t_1)} e^{A_1 t_1} [x^{t_1}(\infty) - x^{t_2}(\infty)] + x^{t_2}(\infty). \end{aligned} \quad (5)$$

При дальнейших преобразованиях учтем свойства переходных матриц, которые могут быть представлены в виде рядов [11]:

$$\begin{aligned} e^{A_1 t} &= \mathbf{1} + A_1 t + \frac{1}{2!}(A_1 t)^2 + \frac{1}{3!}(A_1 t)^3 + \dots; \\ e^{A_2 t} &= \mathbf{1} + A_2 t + \frac{1}{2!}(A_2 t)^2 + \frac{1}{3!}(A_2 t)^3 + \dots, \end{aligned} \quad (6)$$

откуда следует: при малых  $t$  эти ряды могут быть представлены линейными приближениями:

$$e^{A_1 t} = \mathbf{1} + A_1 t; \quad e^{A_2 t} = \mathbf{1} + A_2 t; \quad (7)$$

каждая из матриц (6) перестановочна (коммутативна) в произведении с ее значениями при различных  $t$  и самой матрицей  $A_1$  (или  $A_2$ ); матрицы  $e^{A_1 t}$ ,  $e^{A_2 t}$  не перестановочны в произведениях, поскольку сами матрицы  $A_1$  и  $A_2$ , вообще говоря, не перестановочны.

Выражения (4), (5) могут быть использованы для поинтервального (от периода к периоду) расчета переходных процессов в ППН при заданных значениях  $t_1$ . Однако для анализа и синтеза ППН с замкнутыми системами управления требуется линеаризовать уравнение (5). Для этого предположим, что (5) описывает установившийся режим ППН, и рассмотрим возмущенный режим, возникающий при малых приращениях (вариациях)  $\Delta v$  и  $\Delta t_1$  вектора  $v$  и времени  $t_1$ . Значения вектора  $x(t)$  в возмущенном режиме обозначим через  $x(t) + \Delta x(t)$ . В этом режиме с учетом (3) изменяются также значения  $x^{t_1}(\infty)$ ,  $x^{t_2}(\infty)$ , тогда разностное уравнение принимает вид:

$$\begin{aligned} x(nT + T) + \Delta x(nT + T) &= e^{A_2(T-t_1-\Delta t_1)} e^{A_1(t_1+\Delta t_1)} \times \\ &\times [x(nT) + \Delta x(nT) - x^{t_1}(\infty) - \Delta x^{t_1}(\infty)] + \\ &+ e^{A_2(T-t_1-\Delta t_1)} [x^{t_1}(\infty) + \Delta x^{t_1}(\infty) - x^{t_2}(\infty) - \Delta x^{t_2}(\infty)] + \\ &+ x^{t_2}(\infty) + \Delta x^{t_2}(\infty), \end{aligned} \quad (8)$$

где согласно (3)

$$\begin{aligned} \Delta x^{t_1}(\infty) &= -A_1^{-1} B_1 \Delta v; \\ \Delta x^{t_2}(\infty) &= -A_2^{-1} B_2 \Delta v, \end{aligned} \quad (9)$$

а на основании свойств переходных матриц [11]

$$\begin{aligned} e^{\mathbf{A}_1(t_1+\Delta t_1)} &= e^{\mathbf{A}_1 t_1} e^{\mathbf{A}_1 \Delta t_1}; \\ e^{\mathbf{A}_2(T-t_1-\Delta t_1)} &= e^{\mathbf{A}_2(T-t_1)} e^{-\mathbf{A}_2 \Delta t_1}. \end{aligned}$$

Вычитая (5) из (8), с учетом свойств переходных матриц получаем:

$$\begin{aligned} \Delta \mathbf{x}(nT+T) &= e^{\mathbf{A}_2(T-t_1)} e^{\mathbf{A}_1 \Delta t_1} \Delta \mathbf{x}(nT) + \\ &+ e^{\mathbf{A}_2(T-t_1)} \{(\mathbf{A}_1 - \mathbf{A}_2) e^{\mathbf{A}_1 t_1} [\mathbf{x}(nT) - \mathbf{x}^{t_1}(\infty)] - \\ &- \mathbf{A}_2 [\mathbf{x}^{t_1}(\infty) - \mathbf{x}^{t_2}(\infty)]\} \Delta t_1 + e^{\mathbf{A}_2(T-t_1)} [-e^{\mathbf{A}_1 \Delta t_1} \times \\ &\times \Delta \mathbf{x}^{t_1}(\infty) + \Delta \mathbf{x}^{t_1}(\infty) - \Delta \mathbf{x}^{t_2}(\infty)] + \Delta \mathbf{x}^{t_2}(\infty). \end{aligned}$$

Далее с учетом равенств (3) и (4) получим

$$\Delta \mathbf{x}(nT+T) = \mathbf{M} \Delta \mathbf{x}(nT) + \mathbf{N}_1 \Delta t_1(nT) + \mathbf{N}_2 \Delta \mathbf{v}(nT), \quad (10)$$

где

$$\begin{aligned} \mathbf{M} &= e^{\mathbf{A}_2(T-t_1)} e^{\mathbf{A}_1 \Delta t_1}; \\ \mathbf{N}_1 &= e^{\mathbf{A}_2(T-t_1)} [(\mathbf{A}_1 - \mathbf{A}_2) \mathbf{x}(nT+t_1) + (\mathbf{B}_1 - \mathbf{B}_2) \mathbf{v}(nT)]; \\ \mathbf{N}_2 &= e^{\mathbf{A}_2(T-t_1)} (1 - e^{\mathbf{A}_1 \Delta t_1}) \mathbf{A}_1^{-1} \mathbf{B}_1 - \\ &- [1 - e^{\mathbf{A}_2(T-t_1)}] \mathbf{A}_2^{-1} \mathbf{B}_2. \end{aligned} \quad (11)$$

В [8, 9] разностное уравнение, аналогичное (10), получено без третьего слагаемого в правой части, т.е. без учета влияния внешних возмущений. Кроме того, в правой части выражения для  $\mathbf{N}_1$  в качестве коэффициента ошибочно поставлена матрица  $\mathbf{M}$ , а не  $e^{\mathbf{A}_2(T-t_1)}$ . Правильность выражений (11) далее будет проверена на конкретном примере.

Для перехода к  $z$ -преобразованиям в (10) учтем соотношения [12]:

$$\begin{aligned} Z\{\Delta \mathbf{x}(nT+T)\} &= z[\Delta \mathbf{x}(z) - \Delta \mathbf{x}(0)]; \\ Z\{\Delta \mathbf{x}(nT-T)\} &= z^{-1} \Delta \mathbf{x}(z), \end{aligned} \quad (12)$$

где  $\Delta \mathbf{x}(z)$  –  $z$ -преобразование дискретной функции  $\Delta \mathbf{x}(nT)$ ;  $\Delta \mathbf{x}(0)$  – значение  $\mathbf{x}(nT)$  при  $n=0$ .

Для того чтобы воспользоваться вторым соотношением (12), которое не предполагает знания начального значения вектора  $\Delta \mathbf{x}(nT)$ , перепишем уравнение (10) в виде:

$$\begin{aligned} \Delta \mathbf{x}(nT) &= \mathbf{M} \Delta \mathbf{x}(nT-T) + \mathbf{N}_1 \Delta t_1(nT-T) + \\ &+ \mathbf{N}_2 \Delta \mathbf{v}(nT-T). \end{aligned} \quad (13)$$

Перейдя в (13) к  $z$ -преобразованиям, получим

$$\begin{aligned} \Delta \mathbf{x}(z) &= z^{-1} (1 - z^{-1} \mathbf{M})^{-1} \mathbf{N}_1 \Delta t_1(z) + \\ &+ z^{-1} (1 - z^{-1} \mathbf{M})^{-1} \mathbf{N}_2 \Delta \mathbf{v}(z). \end{aligned} \quad (14)$$

Отсюда с учетом уравнения выхода

$$\Delta u_{\text{вых}} = \mathbf{C} \Delta \mathbf{x} + \mathbf{B} \Delta \mathbf{v},$$

где  $\mathbf{C}$ ,  $\mathbf{D}$  – известные матрицы-строки, найдем

$$\Delta u_{\text{вых}}(z) = W_y(z) \Delta t_1(z) + \mathbf{W}_B(z) \Delta \mathbf{v}(z), \quad (15)$$

где  $W_y(z)$  –  $z$ -передаточная функция для управляющего воздействия  $\Delta t_1$ ;  $\mathbf{W}_B(z)$  –  $z$ -передаточная матрица-строка, определяемые выражениями:

$$W_y(z) = \frac{\Delta u_{\text{вых}}(z)}{\Delta t_1(z)} \Big|_{\Delta \mathbf{v}=0} = z^{-1} \mathbf{C} (1 - z^{-1} \mathbf{M})^{-1} \mathbf{N}_1; \quad (16)$$

$$\mathbf{W}_B(z) = z^{-1} \mathbf{C} (1 - z^{-1} \mathbf{M})^{-1} \mathbf{N}_2 + \mathbf{D}; \quad (17)$$

матрица  $\mathbf{W}_B(z)$  определяется из (13) при  $\Delta t_1 = 0$ .

В качестве примера рассмотрим линеаризованное разностное уравнение и найдем  $z$ -передаточную функцию силовой части понижающего ППН в режиме непрерывного тока.

Введем вектор состояния силовой части  $\mathbf{x} = \left\| i_L \ u_C \right\|^T$ , вектор внешних воздействий  $\mathbf{v} = \left\| u_{\text{вх}} \ i_{\text{н.д}} \ u_{\text{д.пр}} \right\|^T$ , где  $i_L$  – ток дросселя выходного  $LC$ -фильтра;  $u_{\text{вх}}$  – входное напряжение;  $i_{\text{н.д}}$  – дополнительный ток нагрузки, учитываемый в виде подключенного к выходу источника тока;  $u_{\text{д.пр}}$  – прямое падение напряжения на обратном диоде. Все элементы вектора  $\mathbf{v}$  считаем постоянными на периоде  $T$ . Тогда уравнения силовой части в векторно-матричной форме:

при открытом силовом транзисторе ( $0 \leq t \leq t_1$ )

$$\frac{d\mathbf{x}}{dt} = \mathbf{A}_1 \mathbf{x} + \mathbf{B}_1 \mathbf{v}; \quad u_{\text{вых}} = \mathbf{C}_1 \mathbf{x} + \mathbf{D}_1 \mathbf{v},$$

где, как известно из [13, 14],

$$\begin{aligned} \mathbf{A}_1 &= \begin{vmatrix} \frac{r_1 + Rr_C}{L} & -\frac{R}{(R+r_C)L} \\ \frac{R}{(R+r_C)C} & \frac{1}{(R+r_C)C} \end{vmatrix}; \\ \mathbf{B}_1 &= \begin{vmatrix} \frac{1}{L} & \frac{Rr_C}{L} & 0 \\ 0 & \frac{R}{R+r_C} & 0 \\ 0 & -\frac{(R+r_C)C}{(R+r_C)C} & 0 \end{vmatrix}; \quad \mathbf{C}_1 = \begin{vmatrix} Rr_C & \frac{R}{R+r_C} \end{vmatrix}; \\ \mathbf{D}_1 &= \begin{vmatrix} 0 & -\left(\frac{Rr_C}{L}\right) & 0 \end{vmatrix}; \end{aligned} \quad (18)$$

на интервале спада тока дросселя ( $t_1 \leq t \leq T$ )

$$\frac{d\mathbf{x}}{dt} = \mathbf{A}_2 \mathbf{x} + \mathbf{B}_2 \mathbf{v}; \quad u_{\text{вых}} = \mathbf{C}_2 \mathbf{x} + \mathbf{D}_2 \mathbf{v},$$

где  $\mathbf{C}_2 = \mathbf{C}_1$ ,  $\mathbf{D}_2 = \mathbf{D}_1$ ; матрица  $\mathbf{A}_2$  отличается от  $\mathbf{A}_1$  только тем, что сопротивление  $r_1$  заменяется на  $r_2$ ;

$$\mathbf{B}_2 = \begin{vmatrix} 0 & \frac{Rr_C}{L} & -\frac{1}{L} \\ 0 & \frac{R}{(R+r_C)C} & 0 \end{vmatrix}. \quad (19)$$

На практике сопротивления  $r_1, r_2$  малы и слабо влияют на процессы в ППН, поэтому без существенной погрешности принимаем  $r_1=r_2=r$ . В режиме непрерывного тока интервал бестоковой паузы отсутствует и  $t_c=T-t_1$ . Обозначим  $\mathbf{C}=\mathbf{C}_1$ ,  $\mathbf{D}=\mathbf{D}_1$ , тогда согласно (11):

$$\begin{aligned} \mathbf{M} &= e^{\mathbf{A}T}; \\ \mathbf{N}_1 &= e^{\mathbf{A}(T-t_1)}(\mathbf{B}_1 - \mathbf{B}_2)v(nT); \\ \mathbf{N}_2 &= e^{\mathbf{A}(T-t_1)}\mathbf{A}^{-1}(\mathbf{B}_2 - \mathbf{B}_1) + e^{\mathbf{A}T}\mathbf{A}^{-1}\mathbf{B}_1 - \mathbf{A}^{-1}\mathbf{B}_2, \end{aligned}$$

где с учетом (18) и (19):

$$\begin{aligned} \mathbf{B}_1 - \mathbf{B}_2 &= \begin{vmatrix} 1 & 0 & \frac{1}{L} \\ \frac{1}{L} & 0 & 0 \\ 0 & 0 & 0 \end{vmatrix}; \\ \mathbf{A}^{-1}(\mathbf{B}_2 - \mathbf{B}_1) &= \frac{1}{R+r} \begin{vmatrix} 1 & 0 & 1 \\ R & 0 & R \end{vmatrix}; \\ \mathbf{A}^{-1}\mathbf{B}_1 &= \frac{1}{R+r} \begin{vmatrix} -1 & -R & 0 \\ -R & Rr & 0 \end{vmatrix}; \\ \mathbf{A}^{-1}\mathbf{B}_2 &= \frac{1}{R+r} \begin{vmatrix} 0 & -R & 1 \\ 0 & Rr & R \end{vmatrix}. \end{aligned} \quad (20)$$

Переходная матрица  $e^{\mathbf{A}T}$  может быть представлена в явном виде:

$$e^{\mathbf{A}T} = \begin{vmatrix} \Phi_{11}(t) & \Phi_{12}(t) \\ \Phi_{21}(t) & \Phi_{22}(t) \end{vmatrix}, \quad (21)$$

элементы переходной матрицы [13, 14]:

$$\begin{aligned} \Phi_{11}(t) &= e^{-\alpha t} \cos \omega_0 t + \frac{1}{\omega_0} \left[ \frac{1}{(R+r_C)C} - \alpha \right] \times \\ &\times e^{-\alpha t} \sin \omega_0 t; \\ \Phi_{12}(t) &= -\frac{R}{(R+r_C)\omega_0 L} e^{-\alpha t} \sin \omega_0 t; \\ \Phi_{21}(t) &= \frac{R}{(R+r_C)\omega_0 C} e^{-\alpha t} \sin \omega_0 t; \\ \Phi_{22}(t) &= e^{-\alpha t} \cos \omega_0 t + \frac{1}{\omega_0} \left[ \frac{r+Rr_C}{L} - \alpha \right] \times \\ &\times e^{-\alpha t} \sin \omega_0 t; \end{aligned} \quad (22)$$

$\alpha, \omega_0$  – коэффициент затухания  $LC$ -фильтра и собственная частота, определяемые выражениями:

$$\alpha = \frac{1}{2} \left[ \frac{r+Rr_C}{L} + \frac{1}{(R+r_C)C} \right]; \quad \omega_0 = \sqrt{\frac{1}{T_\Phi^2} - \alpha^2}; \quad (23)$$

постоянная времени  $LC$ -фильтра

$$T_\Phi = \sqrt{\frac{R+r_C}{R+r} LC};$$

$R$  – сопротивление нагрузки ППН;  $r_C$  – эквивалентное последовательное сопротивление (ЭПС) выходного конденсатора;  $L, C$  – индуктивность и емкость  $LC$ -фильтра.

С учетом (11) справедливы выражения:

$$\begin{aligned} \mathbf{N}_1 &= \frac{u_{\text{вх}} + u_{\text{д.пр}}}{L} \begin{vmatrix} \Phi_{11}(T-t_1) \\ \Phi_{21}(T-t_1) \end{vmatrix}; \\ \mathbf{N}_2 &= \frac{1}{R+r} \begin{vmatrix} n_{11} & n_{12} & n_{13} \\ n_{21} & n_{22} & n_{23} \end{vmatrix}, \end{aligned} \quad (24)$$

где

$$\begin{aligned} n_{11} &= \Phi_{11}(T-t_1) - \Phi_{11}(T) + R[\Phi_{12}(T-t_1) - \Phi_{12}(T)]; \\ n_{12} &= R[1 - \Phi_{11}(T) + r\Phi_{12}(T)]; \\ n_{13} &= \Phi_{11}(T-t_1) + R\Phi_{12}(T-t_1) - 1; \\ n_{21} &= \Phi_{21}(T-t_1) - \Phi_{21}(T) + R[\Phi_{22}(T-t_1) - \Phi_{22}(T)]; \\ n_{22} &= Rr[\Phi_{22}(T) - 1] - R\Phi_{21}(T); \\ n_{23} &= R[\Phi_{22}(T-t_1) - 1] + \Phi_{21}(T-t_1). \end{aligned} \quad (25)$$

Кроме того, имеет место равенство

$$(1 - z^{-1}e^{\mathbf{A}T})^{-1} = \frac{1}{D(z)} \begin{vmatrix} 1 - z^{-1}\Phi_{22}(T) & z^{-1}\Phi_{12}(T) \\ z^{-1}\Phi_{21}(T) & 1 - z^{-1}\Phi_{11}(T) \end{vmatrix}, \quad (26)$$

где  $e^{\mathbf{A}T} = \mathbf{M}$ ; определитель матрицы  $(1 - z^{-1}e^{\mathbf{A}T})$

$$D(z) = \det(1 - z^{-1}e^{\mathbf{A}T}) = 1 - 2z^{-1}d\cos\omega_0 T + z^{-2}d^2; \quad (27)$$

$$d = e^{-\alpha T}.$$

Выражение (16) с учетом (22)–(24) и (26) преобразуется к виду:

$$\begin{aligned} W_y(z) &= \frac{K_\Phi u_{\text{cx1}} z^{-1}}{T_\Phi^2} d^{1-\varepsilon_1} \times \\ &\times \left[ \tau_C \frac{\cos(1-\varepsilon_1)\omega_0 T - z^{-1}d\cos\varepsilon_1\omega_0 T}{D(z)} + \right. \\ &\left. + \frac{1-\tau_C\alpha \sin(1-\varepsilon_1)\omega_0 T - z^{-1}d\sin\varepsilon_1\omega_0 T}{\omega_0 D(z)} \right], \quad (28) \end{aligned}$$

где  $K_\Phi = R/(R+r)$  – коэффициент передачи  $LC$ -фильтра на постоянном токе (на частоте  $\omega=0$ );  $\tau_C = r_C C$  – постоянная времени выходного конденсатора;  $\varepsilon_1 = t_1/T$  – относительное смещение момента выключения регулирующего транзистора.

Аналогично можно преобразовать и выражение (17) для передаточной матрицы по возмущающим воздействиям, что, однако, является намного более

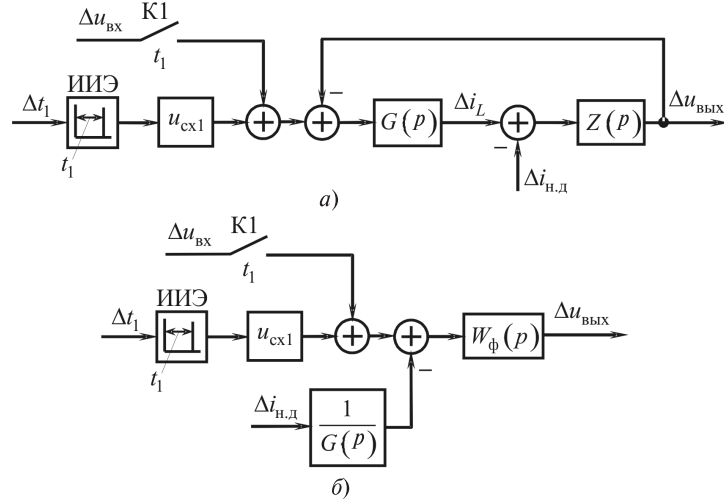


Рис. 1. Линеаризованные дискретные структурные динамические модели понижающего ППН: а — исходная; б — преобразованная

трудной задачей, которая несколько упрощается, если прямое падение напряжения на обратном диоде  $u_{\text{д.пр}}$  считать постоянным не только на периоде  $T$ , но и в течение всего процесса. Тогда входящий в (13) вектор

$$\Delta v = \begin{bmatrix} \Delta u_{\text{вх}} & \Delta i_{\text{н.д}} & 0 \end{bmatrix}^T;$$

с учетом (24) произведение

$$\begin{aligned} N_2 \Delta v &= \frac{1}{R+r} \begin{vmatrix} n_{11} \Delta u_{\text{вх}} + n_{12} \Delta i_{\text{н.д}} \\ n_{21} \Delta u_{\text{вх}} + n_{22} \Delta i_{\text{н.д}} \end{vmatrix} = \\ &= \frac{\Delta u_{\text{вх}}}{R+r} \begin{vmatrix} n_{11} \\ n_{21} \end{vmatrix} + \frac{\Delta i_{\text{н.д}}}{R+r} \begin{vmatrix} n_{12} \\ n_{22} \end{vmatrix}; \end{aligned}$$

второе слагаемое в выражении (15) принимает вид

$$W_B(z) \Delta v(z) = W_{B1}(z) \Delta u_{\text{вх}}(z) + W_{B2}(z) \Delta i_{\text{н.д}}(z), \quad (29)$$

где  $W_{B1}(z)$ ,  $W_{B2}(z)$  — передаточные функции по возмущающим воздействиям, определяемые выражениями:

$$\begin{aligned} W_{B1}(z) &= \frac{z^{-1}}{R+r} C (1 - z^{-1} M)^{-1} \begin{vmatrix} n_{11} \\ n_{21} \end{vmatrix}; \\ W_{B2}(z) &= \frac{z^{-1}}{R+r} C (1 - z^{-1} M)^{-1} \begin{vmatrix} n_{12} \\ n_{22} \end{vmatrix} - (Rr_C). \end{aligned} \quad (30)$$

Выражение для  $W_{B1}(z)$  с учетом (25) и (26) путем несложных, но громоздких преобразований может быть представлено в стандартном виде, удобном для расчетов:

$$\begin{aligned} W_{B1}(z) &= \frac{z^{-1} K_\phi}{D(z)} \left\{ d^{1-\varepsilon_1} \cos(\varepsilon_1 \omega_0 T) - d \cos \omega_0 T + \right. \\ &\quad \left. + z^{-1} (d^2 - d^{2-\varepsilon_1} \cos \varepsilon_1 \omega_0 T) + \frac{\alpha T_\phi^2 - \tau_C}{\omega_0 T_\phi^2} \times \right. \end{aligned}$$

$$\times \left[ d^{1-\varepsilon_1} \sin(\varepsilon_1 \omega_0 T) - d \sin \omega_0 T + z^{-1} d^{2-\varepsilon_1} \sin \varepsilon_1 \omega_0 T \right]. \quad (31)$$

**Передаточные функции, получаемые из линеаризованных дискретных структурных динамических моделей.** На рис. 1, а представлена линеаризованная дискретная структурная динамическая модель понижающего ППН в режиме непрерывных токов [5, 13, 14], которая преобразуется к виду на рис. 1, б [15], где введены обозначения:

$$\begin{aligned} G(p) &= \frac{1}{Lp+r}; \quad Z(p) = \frac{R(\tau_C p+1)}{T_C p+1}; \\ W_y(p) &= \frac{K_\phi u_{\text{cx1}}(\tau_C p+1)}{T_\phi^2 p^2 + 2\zeta_\phi T_\phi p + 1} = \frac{K_\phi u_{\text{cx1}}(\tau_C p+1)}{T_\phi^2 [(p+\alpha)^2 + \omega_0^2]}; \end{aligned} \quad (32)$$

$T_C = (R+r_C)C$ ,  $\tau_C = r_C C$  — постоянные времени конденсатора;  $K_\phi = R/(R+r)$  — коэффициент передачи фильтра;  $T_\phi$ ,  $\zeta_\phi = \alpha T_\phi$  — постоянная времени и коэффициент демпфирования фильтра, определяемые по (23).

Представляя передаточную функцию (32) в виде

$$\begin{aligned} W_y(p) &= \frac{K_\phi u_{\text{cx1}}}{T_\phi^2} \times \\ &\times \left[ \tau_C \frac{p+\alpha}{(p+\alpha)^2 + \omega_0^2} + \frac{1-\tau_C \alpha}{\omega_0} \frac{\omega_0}{(p+\alpha)^2 + \omega_0^2} \right], \end{aligned}$$

по таблице  $z$ -преобразований [12] найдем соответствующую  $z$ -передаточную функцию:

$$\begin{aligned} W_y(z, \varepsilon) &= \frac{K_\phi u_{\text{cx1}}}{T_\phi^2} z d^\varepsilon \times \\ &\times \left[ \tau_C \frac{z \cos \varepsilon \omega_0 T - d \cos(1-\varepsilon) \omega_0 T}{z^2 - 2z d \cos \varepsilon \omega_0 T + d^2} + \right. \end{aligned}$$

$$+ \frac{1-\tau_C \alpha}{\omega_0} \frac{z \sin \varepsilon \omega_0 T + d \sin(1-\varepsilon) \omega_0 T}{z^2 - 2zd \cos \varepsilon \omega_0 T + d^2} \Bigg].$$

Передаточная функция для схемы на рис. 1,б, которую обозначим через  $W_y(z, \varepsilon - \varepsilon_1)$  [16], отличается от приведенной наличием смещенного на время  $t_1 = \varepsilon_1 T$  идеального импульсного элемента:

$$W_y(z, \varepsilon - \varepsilon_1) = \begin{cases} z^{-1} W_y(z, 1 + \varepsilon - \varepsilon_1), & 0 \leq \varepsilon \leq \varepsilon_1; \\ W_y(z, \varepsilon - \varepsilon_1), & \varepsilon_1 \leq \varepsilon \leq 1. \end{cases}$$

Окончательно получим

$$W_y(z, \varepsilon - \varepsilon_1) = \begin{cases} \frac{K_\Phi u_{cx1}}{T_\Phi^2} d^{1+\varepsilon-\varepsilon_1} \times \\ \times \left[ \tau_C \frac{z \cos(1+\varepsilon-\varepsilon_1) \omega_0 T - d \cos(\varepsilon_1-\varepsilon) \omega_0 T}{z^2 - 2zd \cos \omega_0 T + d^2} + \right. \\ \left. + \frac{1-\tau_C \alpha}{\omega_0} \frac{z \sin(1+\varepsilon-\varepsilon_1) \omega_0 T + d \sin(\varepsilon_1-\varepsilon) \omega_0 T}{z^2 - 2zd \cos \omega_0 T + d^2} \right] \\ 0 \leq \varepsilon \leq \varepsilon_1; \\ \frac{K_\Phi u_{cx1}}{T_\Phi^2} d^{\varepsilon-\varepsilon_1} \times \\ \times \left[ \tau_C \frac{z \cos(\varepsilon-\varepsilon_1) \omega_0 T - d \cos(1-\varepsilon+\varepsilon_1) \omega_0 T}{z^2 - 2zd \cos \omega_0 T + d^2} + \right. \\ \left. + \frac{1-\tau_C \alpha}{\omega_0} \frac{z \sin(\varepsilon-\varepsilon_1) \omega_0 T + d \sin(1-\varepsilon+\varepsilon_1) \omega_0 T}{z^2 - 2zd \cos \omega_0 T + d^2} \right] \\ \varepsilon_1 \leq \varepsilon \leq 1. \end{cases} \quad (33)$$

При  $\varepsilon=0$  выражение (33) совпадает с (28), если в последнем многочлены числителя и знаменателя умножить на  $z^2$ .

Аналогично из схемы на рис. 1,б может быть получена  $z$ -передаточная функция для возмущающего воздействия  $\Delta u_{bx}$ . Полагая, как и при выводе  $z$ -передаточной функции из разностного уравнения, значение  $\Delta u_{bx}(t) = \text{const}$  на периоде  $T$ , ключ  $K1$  можно заменить последовательно включенными идеальным импульсным элементом и формирующим звеном с передаточной функцией

$$W_{\Phi,3}(p) = \frac{1}{p} (1 - e^{-pt_1}).$$

Тогда получим передаточную функцию приведенной непрерывной части для цепи от входа  $\Delta u_{bx}(t)$  до выхода  $\Delta u_{vых}(t)$ :

$$W_{\text{пнч}}(p) = \frac{1}{p} W_\Phi(p) - \frac{1}{p} W_\Phi(p) e^{-pt_1}.$$

Разлагаем слагаемое  $\frac{1}{p} W_\Phi(p)$  на простые дроби:

$$W_{\text{пнч1}}(p) = \frac{1}{p} W_\Phi(p) = K_\Phi \left( \frac{1}{p} + \frac{-T_\Phi^2 p + \tau_C - 2\zeta_\Phi T_\Phi}{T_\Phi^2 p^2 + 2\zeta_\Phi T_\Phi + 1} \right)$$

находим  $z$ -передаточные функции, соответствующие этому слагаемому

$$W_{\text{пнч1}}(z, \varepsilon) = K_\Phi \left[ \frac{z}{z-1} - \frac{z \cos \varepsilon \omega_0 T - d \cos(1-\varepsilon) \omega_0 T}{z^2 - 2zd \cos \omega_0 T + d^2} + \right. \\ \left. + \frac{\tau_C - \zeta_\Phi T_\Phi}{\omega_0 T_\Phi^2} zd^\varepsilon \frac{z \sin \varepsilon \omega_0 T + d \sin(1-\varepsilon) \omega_0 T}{z^2 - 2zd \cos \omega_0 T + d^2} \right]$$

и второму слагаемому

$$Z_\varepsilon \{e^{-pt_1} W_{\text{пнч1}}(p)\} = \begin{cases} z^{-1} W_{\text{пнч1}}(z, 1 + \varepsilon - \varepsilon_1), & 0 \leq \varepsilon \leq \varepsilon_1; \\ 0, & \varepsilon_1 \leq \varepsilon \leq 1. \end{cases}$$

Тогда получим выражение

$$W_{B1}(z, \varepsilon) = W_{\text{пнч1}}(z, \varepsilon) - Z_\varepsilon \{e^{-pt_1} W_{\text{пнч1}}(p)\},$$

которое при  $\varepsilon=0$  совпадает с (31).

#### Сравнение полученных результатов с известными.

В зарубежных публикациях, касающихся дискретных методов анализа импульсных ППН, много ссылок на работу [7] как на основополагающую по дискретным методам анализа ППН. Кратко рассмотрим ее исходные положения и результаты, изменив обозначение относительной длительности включенного состояния регулирующего транзистора на  $\gamma = t_1 / T$  и заменив в выражениях входное напряжение на вектор внешних воздействий  $v$ . Введя переключающие функции

$$d(t) = \begin{cases} 1, & nT \leq t \leq nT + \gamma_n T; \\ 0, & nT + \gamma_n T \leq t \leq nT + T \end{cases}$$

и  $d'(t) = 1 - d(t)$ ;  $0 \leq \gamma_n \leq 1$ , графики которых показаны на рис. 2, уравнения (1) можно объединить и представить в виде

$$\frac{dx}{dt} = [d(t) A_1 + d'(t) A_2] x + [d(t) B_1 + d'(t) B_2] v.$$

Линеаризуя это уравнение стандартным методом, получаем

$$\frac{d(\Delta x)}{dt} = [d(t) A_1 + d'(t) A_2] \Delta x(t) + [d(t) B_1 + d'(t) B_2] \Delta v(t) + [(A_1 - A_2)x(t) + (B_1 - B_2)v(t)] \Delta d(t).$$

Здесь в отличие от [7] вариации переменных обозначены символом « $\Delta$ »; функция  $\Delta d(t)$  при  $\Delta \gamma_n \rightarrow 0$  может быть представлена последовательностью дельта-импульсов  $T \Delta \gamma_n \delta(t - nT - t_{l_n})$  (см. рис. 2).

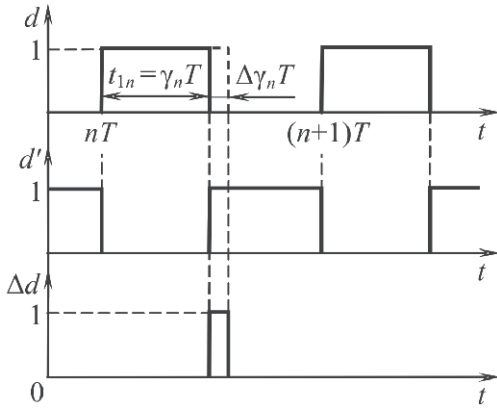


Рис. 2. Графики переключающих функций, используемых в [6]

Далее в [7] следует длительная процедура получения линеаризованного разностного уравнения из линеаризованного дифференциального, после чего в результате  $z$ -преобразования получено выражение

$$\Delta X(z) = (zI - M)^{-1} MKT \Delta \gamma(z) + (zI - M)^{-1} z \Delta x(0),$$

которое отличается от (14) тем, что: использовано  $z$ -преобразование согласно первому равенству (12), в результате чего выражение для  $\Delta X(z)$  зависит от начального значения вектора состояния  $\Delta x(0)$ ; в выражении для матрицы  $M$  в отличие от (11) представлены местами сомножители  $e^{A_1 t}$  и  $e^{A_2(T-t_1)}$ , а это, как было отмечено при рассмотрении свойств переходных матриц, вообще говоря, недопустимо; выражение для произведения  $MK$ , которое должно совпадать с (11) для матрицы  $N_1$ , отличается от (11) тем, что в это произведение вместо матрицы  $M$  должна входить матрица  $e^{A_2(T-t_1)}$ ; в правой части отсутствует слагаемое, учитывающее влияние внешних возмущений.

В [17] получено нелинейное разностное уравнение ППН, полностью совпадающее с (5). Затем это уравнение рассматривается как неявно заданное отображение

$$x_{n+1} = f(x_n, v_n, \gamma_n)$$

с уравнением для определения относительной длительности включенного состояния регулирующего транзистора на  $n$ -м периоде  $\gamma_n$

$$g(x_n, v_n, \gamma_n) = 0.$$

Из такого определения  $\gamma_n$  видно, что подразумевается ППН с замкнутой системой управления.

Далее записываются линеаризованное разностное уравнение

$$\Delta x_{n-1} = \frac{\partial f}{\partial x_n} \Delta x_n + \frac{\partial f}{\partial v_n} \Delta v_n + \frac{\partial f}{\partial \gamma_n} \Delta \gamma_n$$

и уравнение

$$0 = \frac{\partial g}{\partial x_n} \Delta x_n + \frac{\partial g}{\partial v_n} \Delta v_n + \frac{\partial g}{\partial \gamma_n} \Delta \gamma_n,$$

получаемое в результате дифференцирования уравнения для определения  $\gamma_n$ . Отсюда следует выражение

$$\Delta \gamma_n = - \left( \frac{\partial g}{\partial \gamma_n} \right)^{-1} \left( \frac{\partial g}{\partial x_n} \Delta x_n + \frac{\partial g}{\partial v_n} \Delta v_n \right),$$

с учетом которого находим линеаризованное разностное уравнение в стандартной форме

$$\Delta x_{n-1} = \Phi \Delta x_n + \Gamma \Delta v_n,$$

где

$$\Phi = \frac{\partial f}{\partial x_n} - \frac{\partial f}{\partial \gamma_n} \left( \frac{\partial g}{\partial \gamma_n} \right)^{-1} \frac{\partial g}{\partial x_n};$$

$$\Gamma = \frac{\partial f}{\partial v_n} - \frac{\partial f}{\partial \gamma_n} \left( \frac{\partial g}{\partial \gamma_n} \right)^{-1} \frac{\partial g}{\partial v_n}.$$

Матрица  $\Phi$ , называемая матрицей Якоби отображения  $f$ , имеет тот же смысл, что и матрица  $M$  в (10). Определение производных отображения известно из [18].

Принятая в [17] постановка задачи анализа устойчивости ППН с замкнутыми системами управления с помощью линеаризованных разностных уравнений правомерна и известна из теории нелинейных колебаний [19]. Однако, как видно из [17], полученные в ней результаты пока незначительны.

Во многих зарубежных статьях даются ссылки на работы Д. Максимовича, в которых рассматриваются ППН, описываемые уравнениями (1). В [8] обосновывается линеаризованное разностное уравнение силовой части понижающего ППН (при наших обозначениях)

$$\Delta x(n) = M \Delta x(n-1) + N_1 T \Delta \gamma(n-1). \quad (34)$$

Поскольку предполагается цифровая система управления, дискретная модель силовой части может рассматриваться отдельно от дискретной модели системы управления (из-за наличия АЦП между выходом силовой части и системой управления). Здесь

$$M = e^{A_1 \gamma T} e^{A_2(1-\gamma)T}; \quad N_1 = \Phi \alpha,$$

где

$$\alpha = (A_1 - A_2)x(nT - \gamma T) + (B_1 - B_2)v(nT)$$

совпадает с вектором  $K$  в [7], а матрица  $M$  – с матрицей  $M$  в [7] [см. (11)]. Как видно, допущены те же ошибки, что и в [7]. Основная заключается в том, что в выражение для матрицы  $N_1$  вместо матрицы  $M$  должна входить матрица  $e^{A_2(1-\gamma)T}$ . Ошибочная перестановка значений переходной матрицы в правой части выражения для  $M$  несущественна в случае рассмотрения понижающего ППН, поскольку тогда  $A_1 = A_2 = A$ .

Указанные ошибки, как и в [7], видимо, допущены из-за попыток получения линеаризованного разностного уравнения непосредственно из дифференциальных уравнений ППН путем их интегрирования: отклонение  $\Delta x(n)$  в возмущенном режиме определяется как сумма результатов воздействий отклонений  $\Delta x(n-1)$  в предыдущий дискретный момент времени  $t=(n-1)T$  при  $\Delta y_{n-1}=0$  и отклонения  $\Delta y_{n-1}$  при  $\Delta x(n-1)=0$ .

Как указано в [20], ее особенностью является получение импульсной модели понижающего ППН  $s$ - и  $z$ -преобразованиями исходных дифференциальных уравнений без решения на отдельных интервалах. К сожалению, использование смещенного  $z$ -преобразования в [20] не обосновывается, не учитывается влияние внешних возмущений на ППН.

Во многих статьях, например в [9], где также рассматривается понижающий ППН с цифровым управлением, разностное уравнение (34) используется без вывода для расчета частотных характеристик силовой части.

**Выводы.** 1. Методом, известным из теории автоматического управления, выполнена линеаризация нелинейного разностного уравнения ППН в режиме непрерывного тока с разомкнутой системой управления с учетом возмущений по входному напряжению и току нагрузки; установлена ошибочность выражения для матричного коэффициента, учитывающего влияние изменений длительности включенного состояния регулирующего транзистора, встречающаяся в ряде зарубежных публикаций.

2. По линеаризованному разностному уравнению получены выражения для дискретных передаточных функций ППН с разомкнутой системой управления по управляющему и возмущающим воздействиям, правильность которых проверена для силовой части понижающего ППН сравнением с выражениями, полученными по линеаризованной дискретной структурной динамической модели.

3. Вывод дискретных передаточных функций по линеаризованному разностному уравнению оказывается значительно сложнее, чем по дискретной структурной динамической модели, и не позволяет рассчитывать процессы между моментами дискретизации. Для вывода точных  $z$ -передаточных функций по разностному уравнению необходимо знать точные выражения для элементов входящих в них переходных матриц, что сильно усложняет расчет, когда порядок дифференциальных уравнений непрерывной части больше двух.

4. Преимущества структурных динамических моделей ППН хорошо известны [3–6], в частности, они могут служить составной частью структурных моделей систем управления любой сложности, с

различными обратными связями. Вывод  $z$ -передаточных функций по ним не требует знания переходных матриц непрерывной части, но предполагает наличие определенных знаний по теории импульсных систем.

#### СПИСОК ЛИТЕРАТУРЫ

1. Белов Г.А. Импульсные преобразователи с системами управления на серийных микросхемах. – Чебоксары: Изд-во Чувашского государственного университета, 2015, 330 с.
2. Айфичер Э.С., Джервис Б.У. Цифровая обработка сигналов: практический подход, 2-е изд./Пер. с англ. – М.: Издательский дом «Вильямс», 2008, 992 с.
3. Белов Г.А. Структурные модели и исследование динамики импульсных преобразователей. – Электричество, 2008, № 4, с. 40–49.
4. Белов Г.А. Нелинейные структурные динамические модели силовых частей импульсных ППН. – Силовая электроника, 2014, № 3, с. 80–83.
5. Белов Г.А. Линеаризованные дискретные структурные динамические модели импульсных ППН при модуляции момента выключения силового транзистора. – Силовая электроника, 2014, № 4, с. 74–80.
6. Белов Г.А. Дискретные структурные динамические модели понижающего импульсного ППН при модуляции момента включения силового транзистора и двусторонней модуляции. – Силовая электроника, 2015, № 5 (56), с. 40–44.
7. Brown A.R., Middlebrook R.D. Sampled-data modeling of switching regulators. – IEEE Power electron. Specialists conf., 1981, pp. 349–369.
8. Maksimovic D., Zane R. Small-signal Discrete-time Modeling of Digitally Controlled DC-DC Converters. – IEEE COMPEL Workshops on Computers in Power Electronics, 2006, pp. 231–235.
9. Hagen M., Yousefzadeh V. Applying digital technology to PWM control-loop design. Seminar Texas Instruments: [http://www.ti.com/download/tmg/docs/seminar/Topic\\_7\\_Hagen.pdf](http://www.ti.com/download/tmg/docs/seminar/Topic_7_Hagen.pdf).
10. Белов Г.А., Малинин Г.В. Математическое моделирование и исследование динамики импульсных преобразователей. – Электричество, 2008, № 6, с. 40–52.
11. Ройтенберг Я.Н. Автоматическое управление: Учебное пос. – М.: Наука, 1978, 552 с.
12. Бесекерский В.А. Цифровые автоматические системы. – М.: Наука, 1976, 576 с.
13. Белов Г.А. Динамика импульсных преобразователей. – Чебоксары: Изд-во Чувашского государственного университета, 2001, 528 с.
14. Белов Г.А. Теория импульсных преобразователей. – Чебоксары: Изд-во Чувашского государственного университета, 2016, 330 с.
15. Белов Г.А., Абрамов С.В. Анализ устойчивости и показателей качества переходных процессов в одноконтурной системе управления понижающим импульсным преобразователем. – Электричество, 2014, № 7, с. 49–57.
16. Цыпкин Я.З. Теория линейных импульсных систем. – М.: Физматгиз, 1963, 968 с.
17. Lin-Shi X., Allard B., Bi J., Li B. Stability analysis for integrated DC/DC converters. – 12th IEEE Intern. Conf. on Solid-State and Integrated Circuit Technology (ICSICT), 2014, pp. 1–3.
18. Зорич В.А. Математический анализ: Учебник, ч. I. – М.: Наука, 1981, 544 с.
19. Гаушус Э.В. Исследование динамических систем методом точечных преобразований. – М.: Наука, 1976, 368 с.
20. Axelrod B., Berkovich Y., Ioinovici A. A new dynamic discrete model of DC-DC PWM Converters. – HAIT Journal of Science and Engineering, Series B, vol. 2, iss. 3–4, May 2005, pp. 426–451.

*Автор: Белов Геннадий Александрович окончил факультет электронной техники Московского энергетического института (МЭИ) в 1961 г. Докторскую диссертацию «Развитие теории и разработка*

*импульсных полупроводниковых преобразователей постоянного напряжения» защитил в МЭИ в 1991 г. Заведующий кафедрой промышленной электроники Чувашского государственного университета.*

*Elektrichestvo (Electricity), 2016, No. 11, pp. 35–43.*

## Comparison of the Discrete Dynamic Models of Impulse Converters

**BELOV Gennadii Aleksandrovich** (*Chuvash State University, Cheboksary, Russia*) — Professor, Dr. Sci. (Eng.)

*The article presents the derivation of a nonlinear difference equation in vector-matrix form, and its linearization is shown together derivation of a z-transfer function for a DC voltage converter (DCVC) with two working time intervals  $t_1$  and  $t_2$  in the switching period  $T$ , the processes in which are described by different linear arbitrary-order vector-matrix differential equations. If explicit exact expressions are available for all elements of fundamental (transient) matrices of these systems, exact z-transfer functions suitable for practical calculations can be obtained from the linearized difference equations. As an example, the article considers derivation from a linearized difference equation of z-transfer functions for the power part of a step-down DCVC with an LC filter at the outlet, operating in the continuous current mode with a single-loop control system. The obtained linearized difference equation of a DCVC and the procedures for deriving the equation and z-transfer functions on its basis are compared with their analogs known from the literature.*

**Ключевые слова:** DC voltage impulse converter, difference equations, linearization, z-transfer functions, structural dynamic models

### REFERENCES

1. **Belov G.A.** *Impul'snye preobrazovateli s sistemami upravleniya na seriynykh mikroschemakh* (Impulse converters with controls on production chips). Cheboksary, Chuvash State University, 2015, 330 p.
2. **Aificher E.S., Dzhervis B.U.** *Tsifrovaya obrabotka signalov: prakticheskii podkhod*, 2 izd./Per. s angl. (Digital signal processing: A practical approach, 2nd publ./Transl. from English. Moscow, Publ. House «Vil'yams», 2008, 992 p.
3. **Belov G.A.** *Elektrichestvo* — in Russ. (Electricity), 2008, No. 4, pp. 40–49.
4. **Belov G.A.** *Silovaya elektronika* — in Russ. (Power electronics), 2014, No. 3, pp. 80–83.
5. **Belov G.A.** *Silovaya elektronika* — in Russ. (Power electronics), 2014, No. 4, pp. 74–80.
6. **Belov G.A.** *Silovaya elektronika* — in Russ. (Power electronics), 2015, No. 5 (56), pp. 40–44.
7. **Brown A.R., Middlebrook R.D.** Sampled-data modeling of switching regulators. — IEEE Power electron. Specialists conf., 1981, pp. 349–369.
8. **Maksimovic D., Zane R.** Small-signal Discrete-time Modeling of Digitally Controlled DC-DC Converters. — IEEE COMPEL Workshops on Computers in Power Electronics, 2006, pp. 231–235.
9. **Hagen M., Yousefzadeh V.** Applying digital technology to PWM control-loop design. Seminar Texas Instruments: [http://www.ti.com/download/tmg/docs/seminar/Topic\\_7\\_Hagen.pdf](http://www.ti.com/download/tmg/docs/seminar/Topic_7_Hagen.pdf).
10. **Belov G.A., Malinin G.V.** *Elektrichestvo* — in Russ. (Electricity), 2008, No. 6, pp. 40–52.
11. **Roitenberg Ya.N.** *Avtomatischeskoye upravleniye* (Automatic control). Moscow, Publ. «Nauka», 1978, 552 p.
12. **Besekerskii V.A.** *Tsifrovye avtomaticheskiye sistemy* (Numerical automatic systems). Moscow, Publ. «Nauka», 1976, 576 p.
13. **Belov G.A.** *Dinamika impul'snykh preobrazovatelei* (Impuls converters dynamics). Cheboksary, Chuvash State University, 2001, 528 p.
14. **Belov G.A.** *Teoriya impul'snykh preobrazovatelei* (Impuls converters theory). Cheboksary, Chuvash State University, 2016, 330 p.
15. **Belov G.A., Abramov S.V.** *Elektrichestvo* — in Russ. (Electricity), 2014, No. 7, pp. 49–57.
16. **Tsyplkin Ya.Z.** *Teoriya lineinykh impul'snykh sistem* (Theory of figures impuls systems). Moscow, Fizmatgiz, 1963, 968 p.
17. **Lin-Shi X., Allard B., Bi J., Li B.** Stability analysis for integrated DC/DC converters. — 12th IEEE Intern. Conf. on Solid-State and Integrated Circuit Technology (ICSICT), 2014, pp. 1–3.
18. **Zorich V.A.** *Matematicheskii analiz: Uchebnik, ch. I* (Mathematical analysis. Textbook, part I). Moscow, Publ. «Nauka», 1981, 544 p.
19. **Gaushus E.V.** *Issledovaniye dinamicheskikh sistem metodom tochechnykh preobrazovanii* (Investigation of dynamic systems with the method of point transformations). Moscow, Publ. «Nauka», 1976, 368 p.
20. **Axelrod B., Berkovich Y., Ioinovici A.** A new dynamic discrete model of DC-DC PWM Converters. — HAIT Journal of Science and Engineering, Series B, vol. 2, iss. 3–4, May 2005, pp. 426–451.